

#### **COMUNICAÇÃO TÉCNICA**

#### Nº 178906

Aplicação de acelerômetros MEMS em simulação de escorregamento utilizando modelo físico em calha experimental

Gabriel Raykson Matos Brasil de Araújo

Palestra apresentada na SLOPE STABILITY WORKSHOP, 2024, São Paulo. 22 slides

A série "Comunicação Técnica" compreende trabalhos elaborados por técnicos do IPT, apresentados em eventos, publicados em revistas especializadas ou quando seu conteúdo apresentar relevância pública. **PROIBIDO REPRODUÇÃO** 

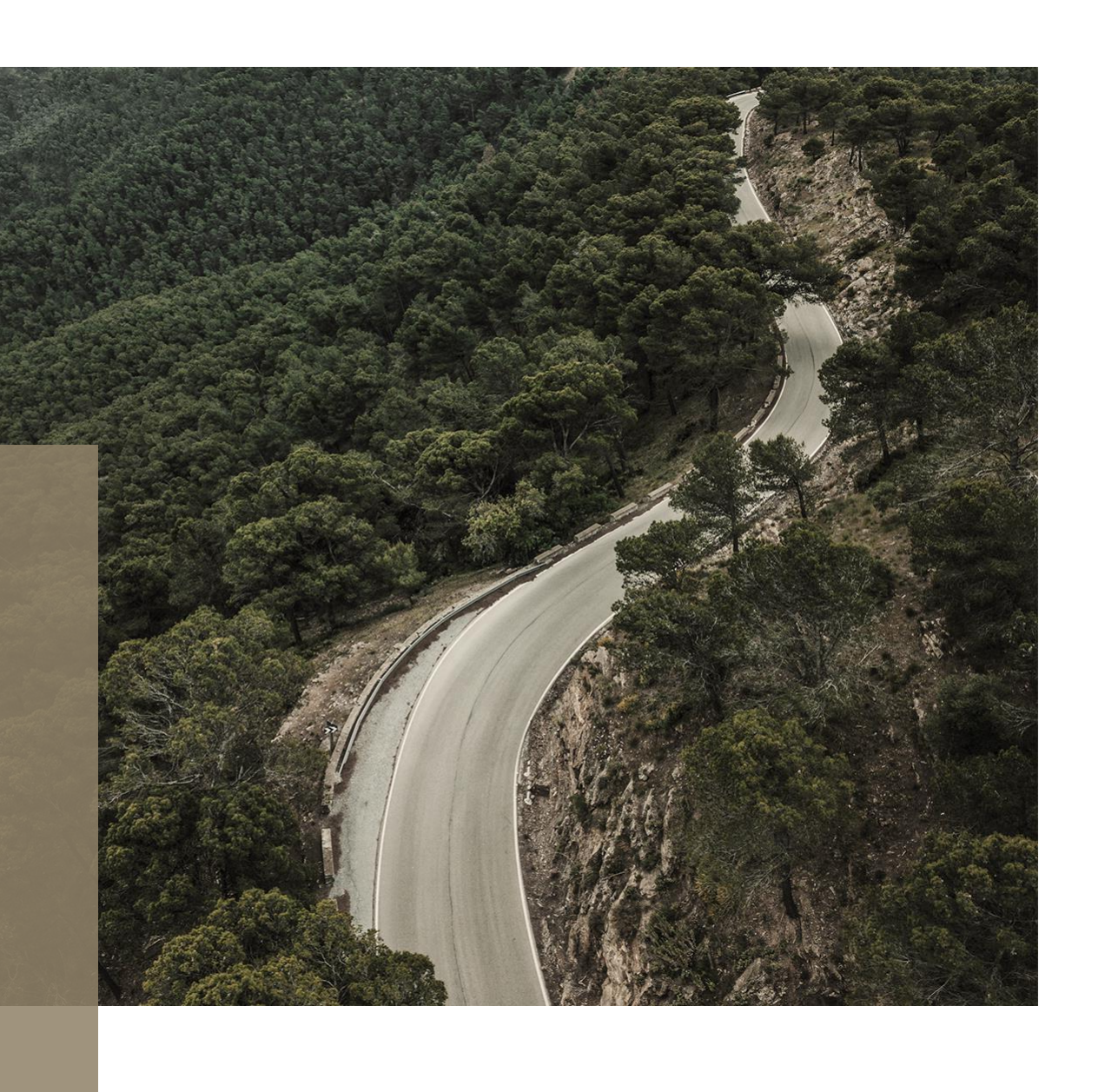
Instituto de Pesquisas Tecnológicas do Estado de São Paulo S/A - IPT
Av. Prof. Almeida Prado, 532 | Cidade Universitária ou Caixa Postal 0141 | CEP 01064-970
São Paulo | SP | Brasil | CEP 05508-901
Tel 11 3767 4374/4000 | Fax 11 3767-4099

www.ipt.br





SLOPE STABILITY WORKSHOP







# Aplicação de Acelerômetros MEMS em Simulação de Escorregamento Utilizando Modelo Físico em Calha Experimental

Gabriel Raykson Matos Brasil de Araújo

Mestrando em Engenharia Geotécnica – Poli/USP Pesquisador Junior - FIPT/IPT





#### Antes de montar o modelo físico, algumas perguntas precisam ser respondidas:

- 1. O que espero obter dos sensores dentro de um modelo físico?

  R: Um registro de movimentação no maciço de solo que seja suficientemente antecipado da ruptura
- 2. Quanto tempo de antecedência é suficiente/adequado?

  R: Depende do tipo de estrutura monitorada e do tipo de elemento sob risco
- 3. Como o sensor vai se comportar se ele estiver dentro da camada em movimento?
  R: sem resposta
- 4. E se ele estiver fora da camada em movimento?
  R: sem resposta
- 5. E se existirem sensores na mesma camada, mas com diferentes distâncias em relação ao ponto em movimento?
  R: sem resposta



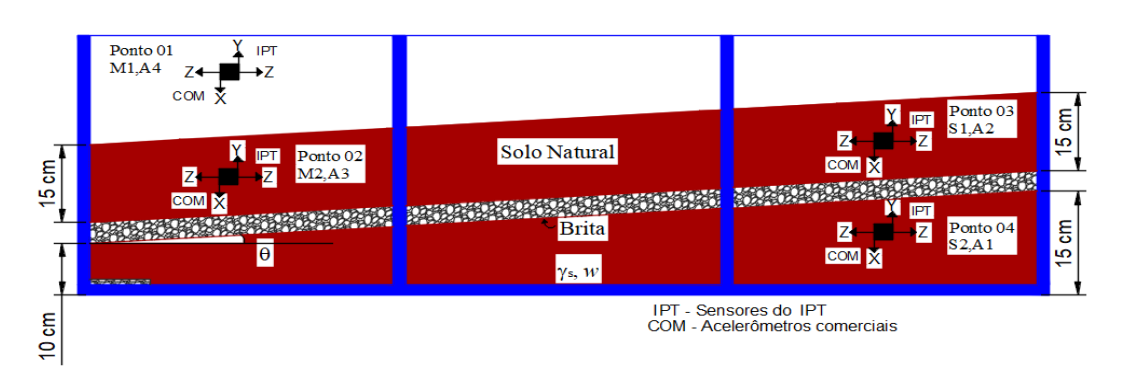


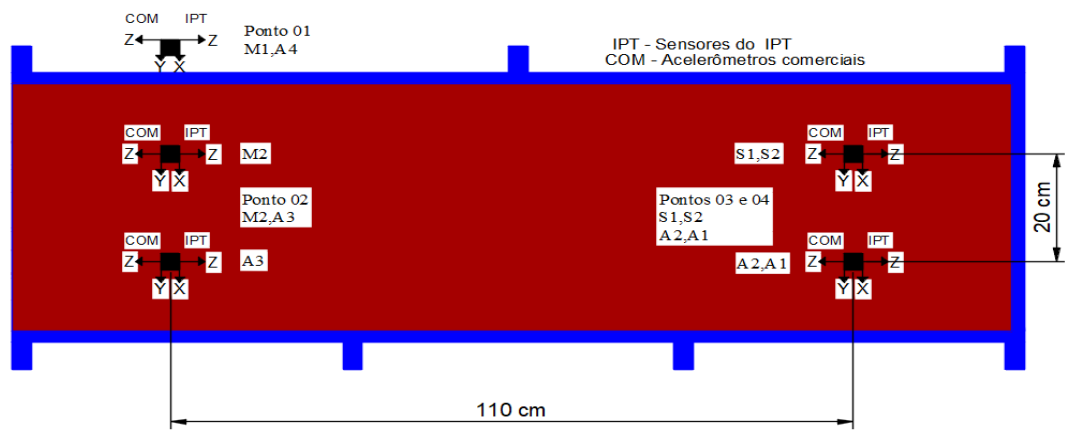
# **METODOLOGIA**





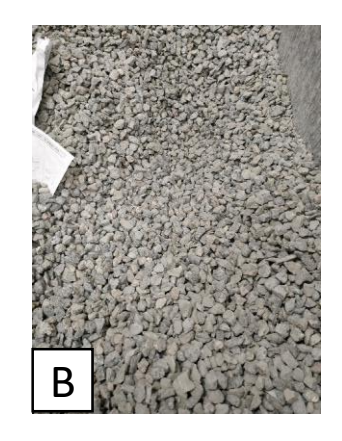
#### **Modelo físico**





#### **Materiais**





### **Calha experimental**



Estágio de inclinação	Grau
1ª inclinação	26°
2ª inclinação	29°
3ª inclinação	32°
4ª inclinação	35°
5ª inclinação	38°
6ª inclinação	41°

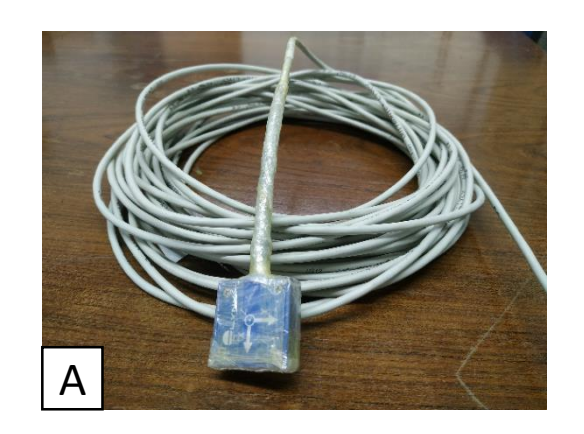


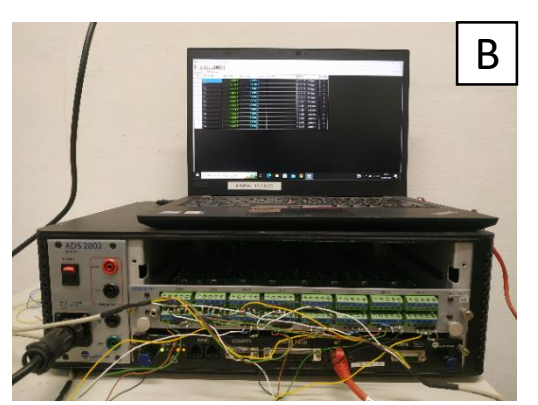


# **Dispositivo IPT**



# **Dispositivo Comercial**





	Lynx	MPU9250	MPU9250		
	(Acelerômetro)	(Acelerômetro)	(Giroscópio)		
Parâmetro	Valor Típico	Valor Típico	Valor Típico		
Faixa de medição	±2 [g]	±2 ±4 ±8 ±16 [g]	±250 ±500 ±1000 ±2000 [°/s]		
Sensibilidade	400 mV/g	-	-		
Não-linearidade	±0,1 [%]	±0,5 [%]	±0,1 [%]		
Resp. em Frequência	0-1000 Hz	4-4000 Hz	4-8000 Hz		
Dens. de Ruído					
$[x]/[\sqrt{Hz}$ rms]	20 [μg]	300 [μg]	0.01 [°/s]		



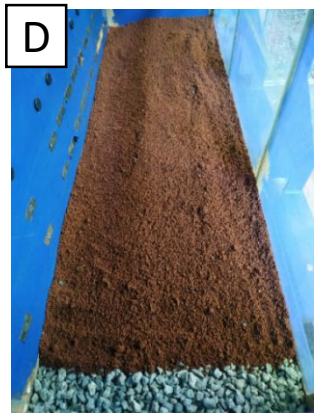


# Passo a passo da montagem

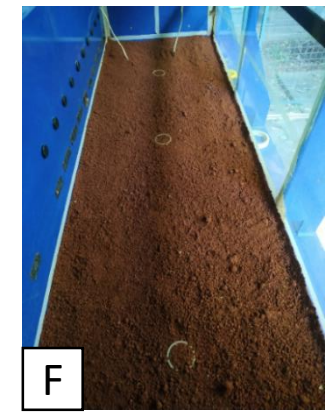


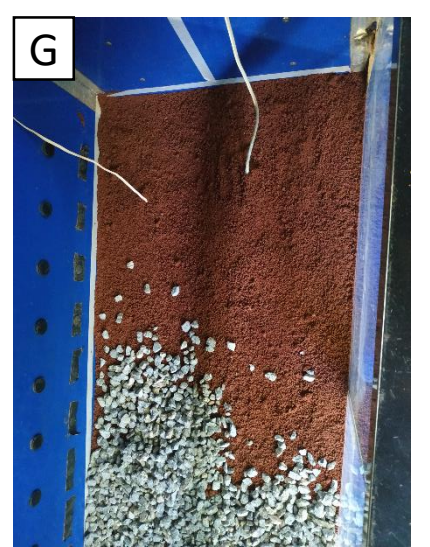
















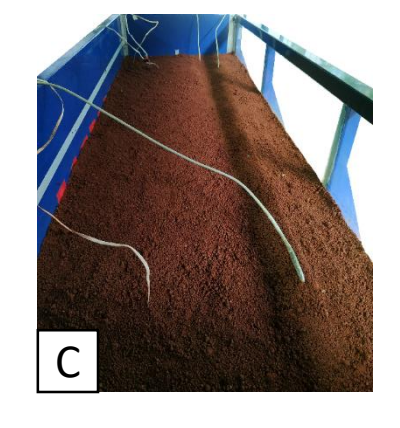


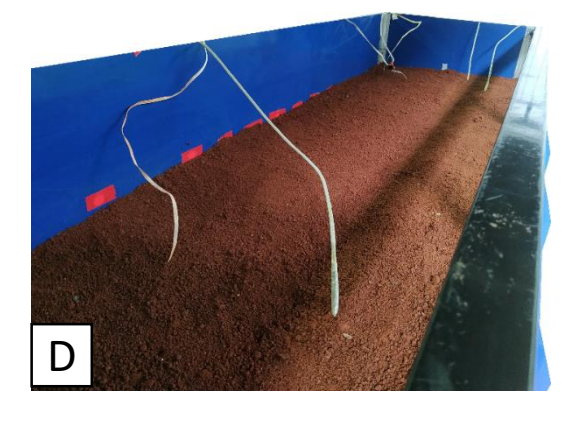


# Passo a passo da montagem















GeoInfraUSP



# **RESULTADOS**





#### **Uniformidade das camadas**



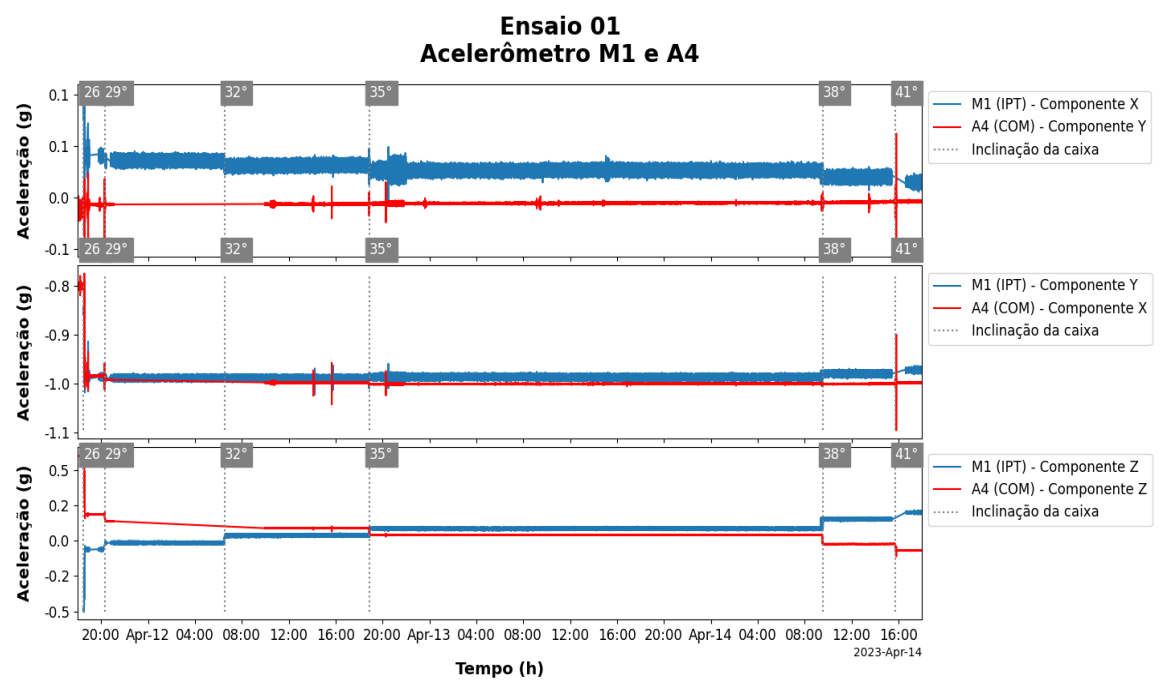


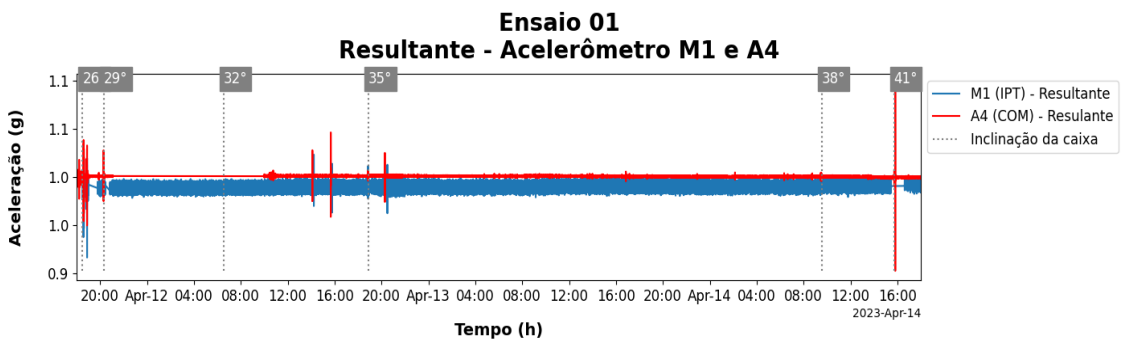


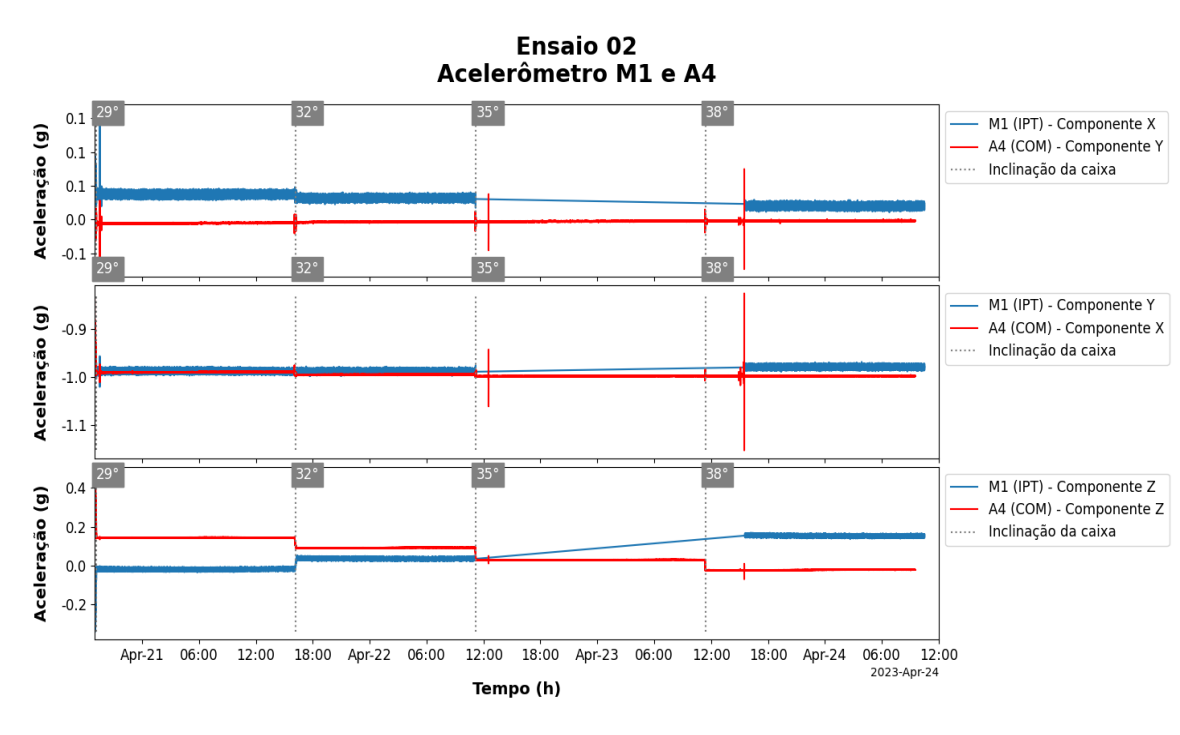
Ensaio	Camada	γ <sub>d</sub> <b>01</b>	$\gamma_d$ 02	γ <sub>d</sub> 03	γ <sub>d</sub> médio	Desvio	Coeficiente	<b>e</b> médio		
		(kN/m³)	(kN/m³)	(kN/m³)	(kN/m³)	Padrão	Variação			
Ensaio 01	Camada Inf	10,1	9,90	9,70	9,90	0,02	2,02%	1,748		
	Camada Sup	9,80	10,5	10,2	10,2	0,035	3,44%	1,667		
Ensaio 02	Camada Inf	9,10	9,50	9,90	9,50	0,04	4,21%	1,864		
	Camada Sup	9,50	9,30	9,70	9,50	0,02	2,10%	1,864		
Ensaio 03	Camada Inf	9,40	9,80	N/R*	9,60	0,028	2,94%	1,834		
	Camada Sup	10,1	9,90	N/R*	10,0	0,014	1,41%	1,721		
N/R: Corpos de prova não recuperados										

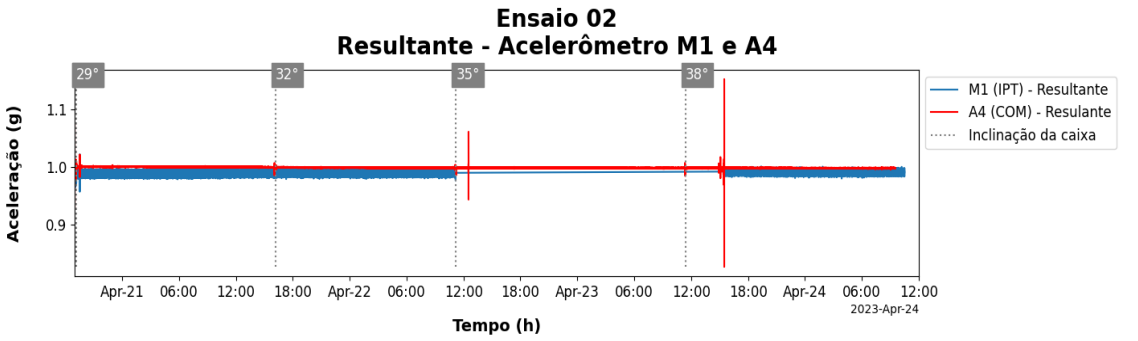












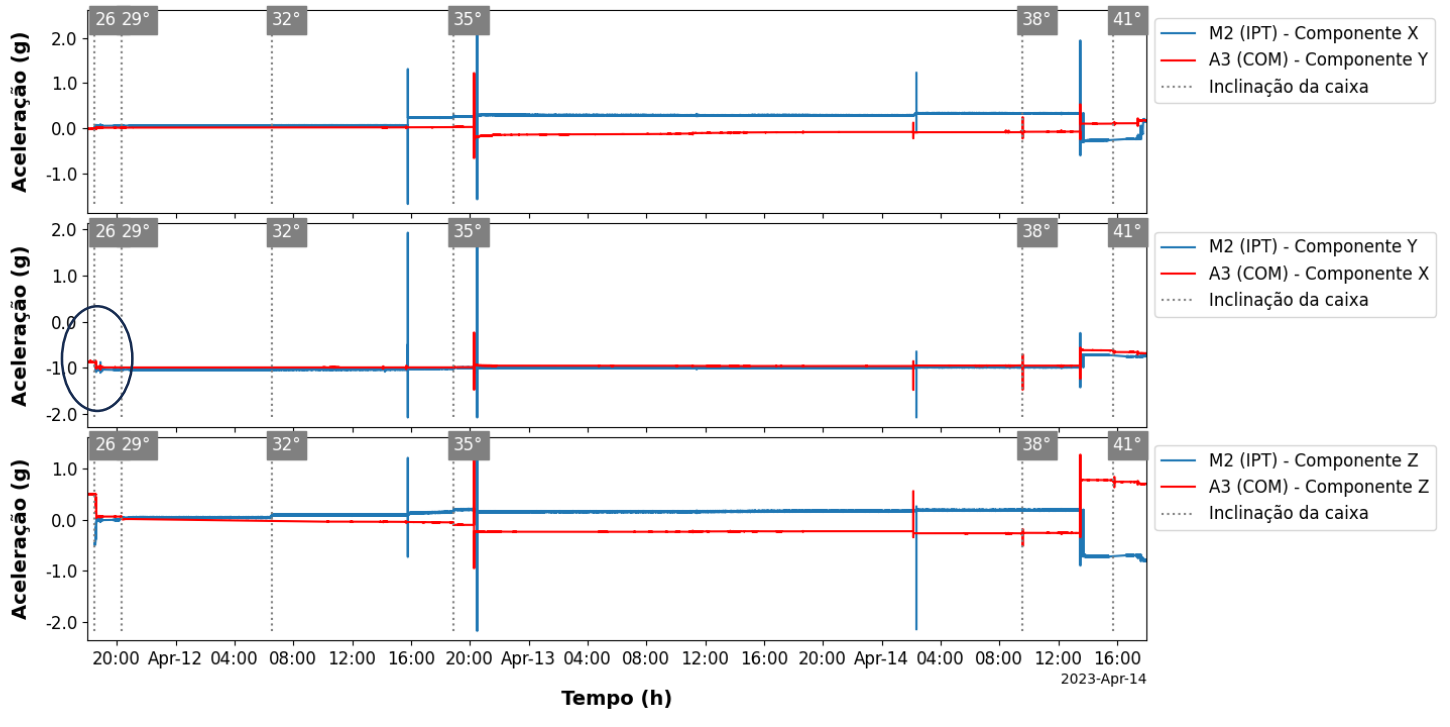


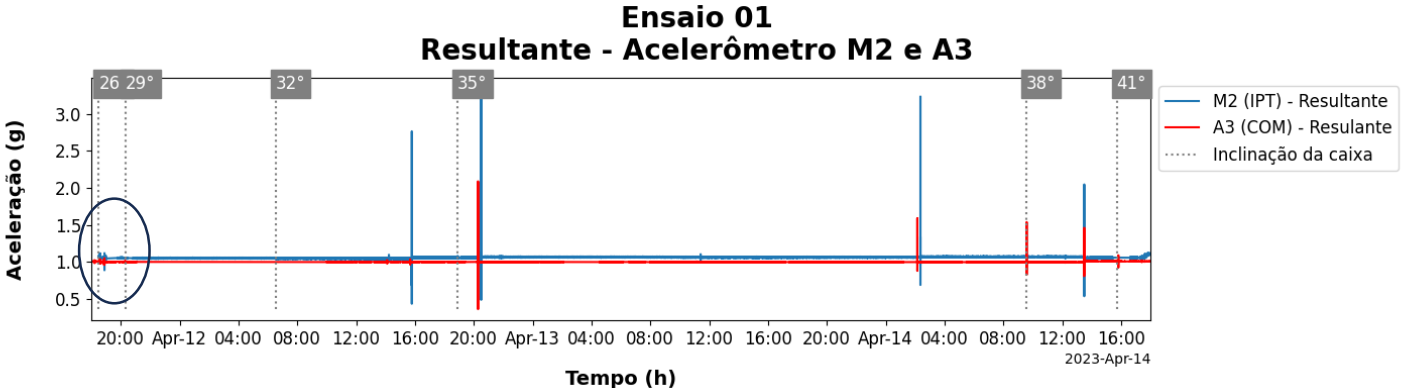
GeoInfraUSP





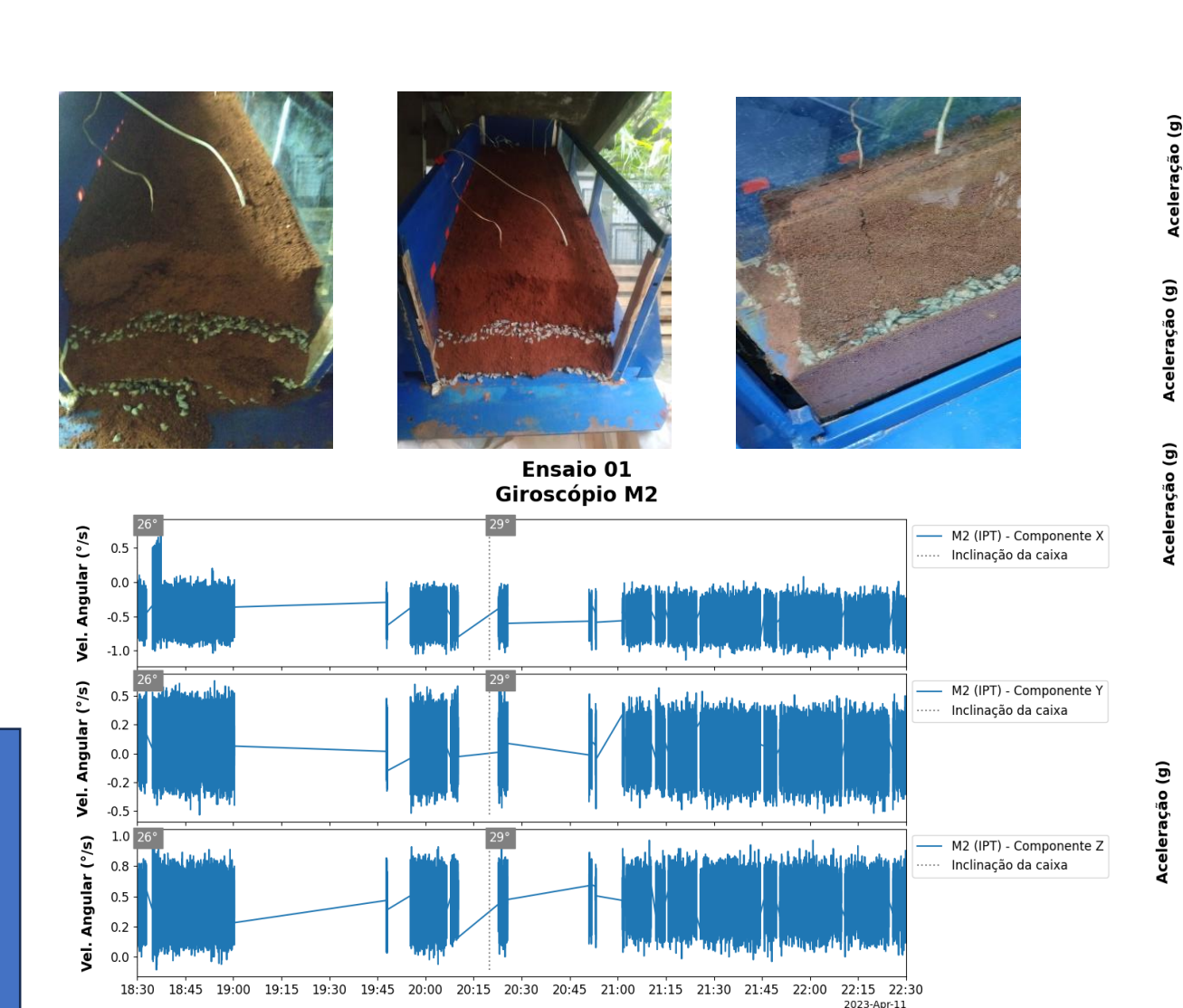
# Ensaio 01 Acelerômetro M2 e A3



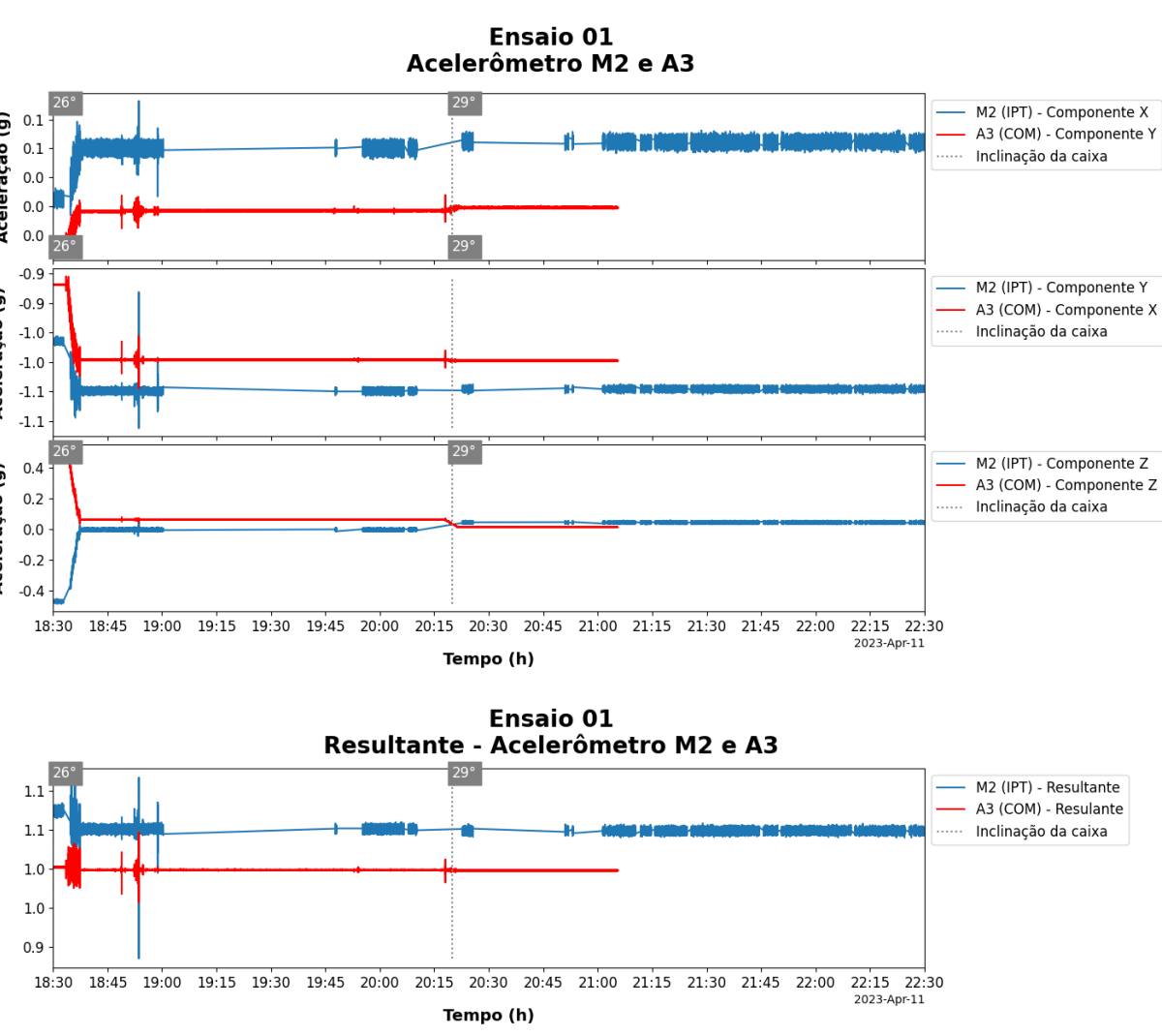








Tempo (h)





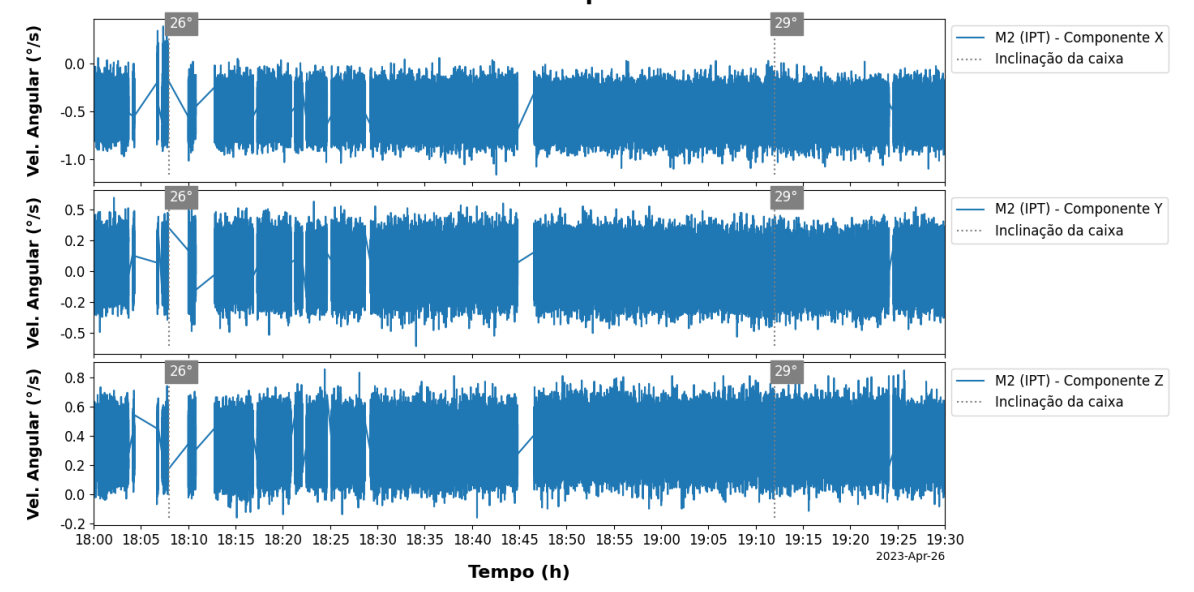




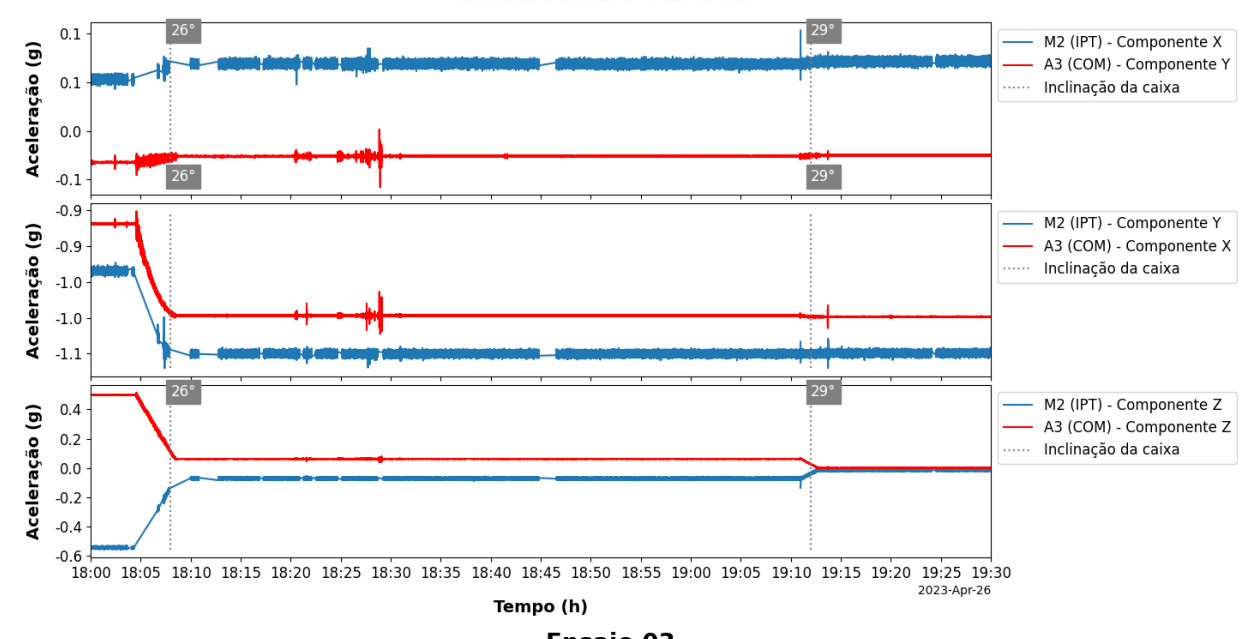




Ensaio 03 Giroscópio M2

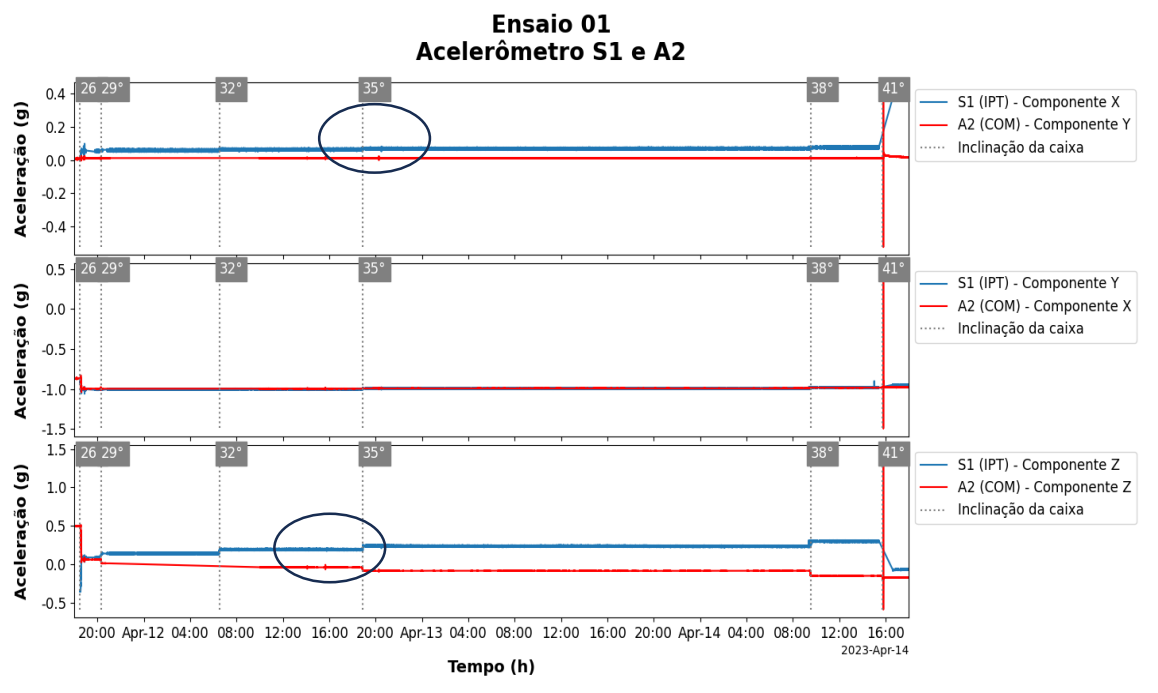


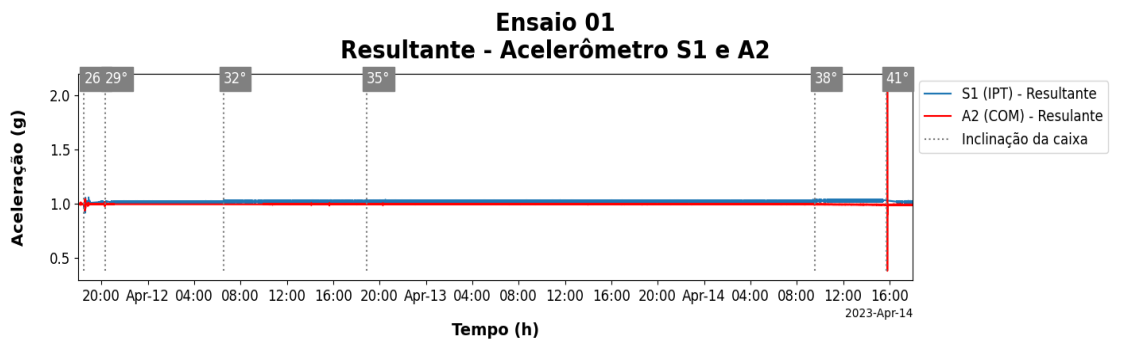
Ensaio 03 Acelerômetro M2 e A3

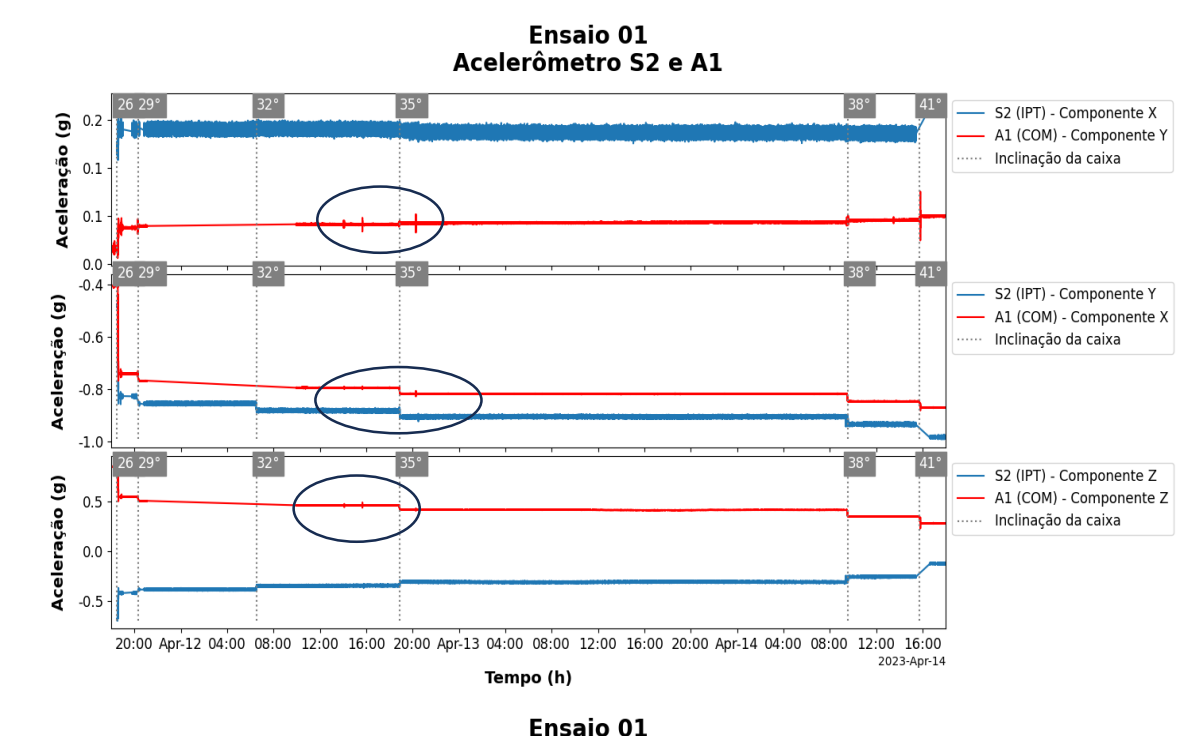


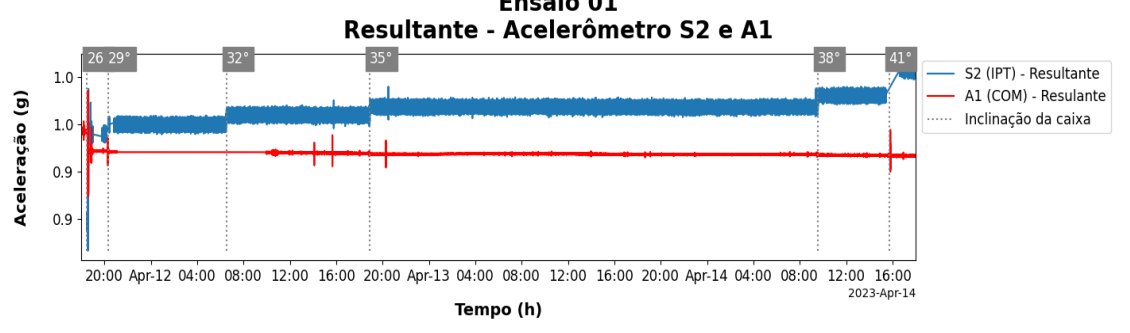






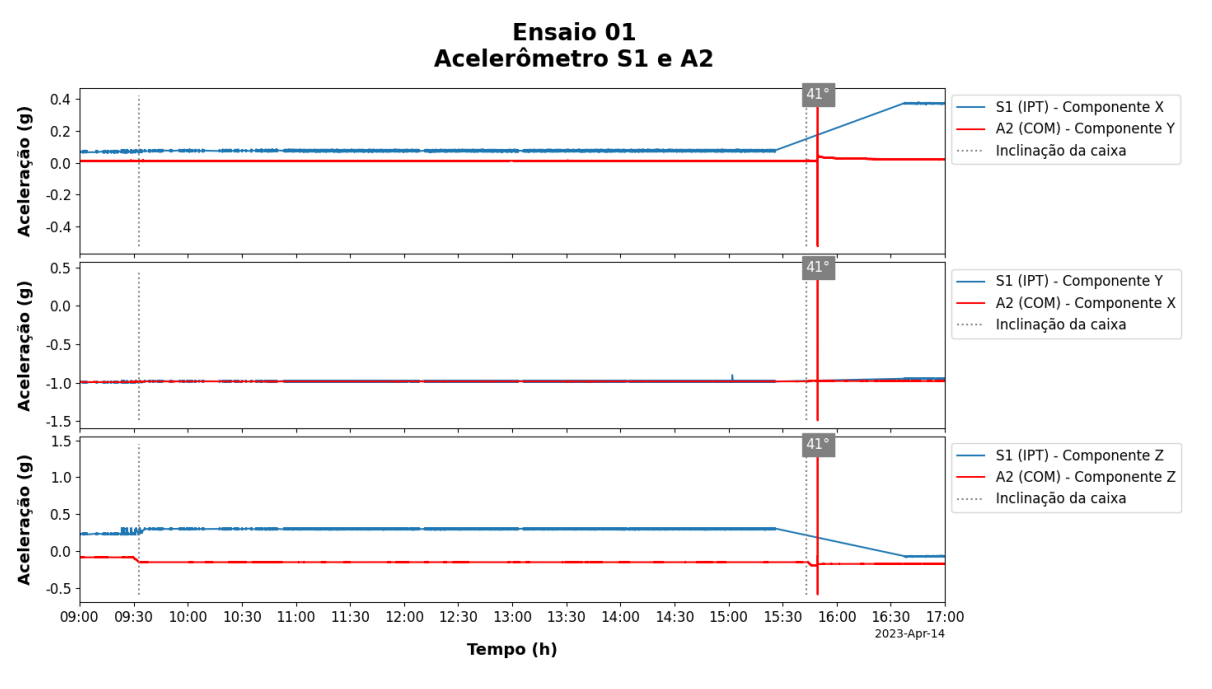


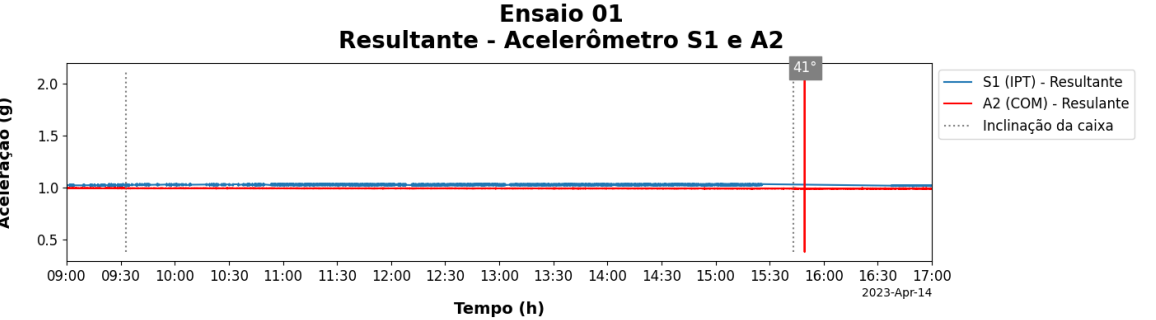


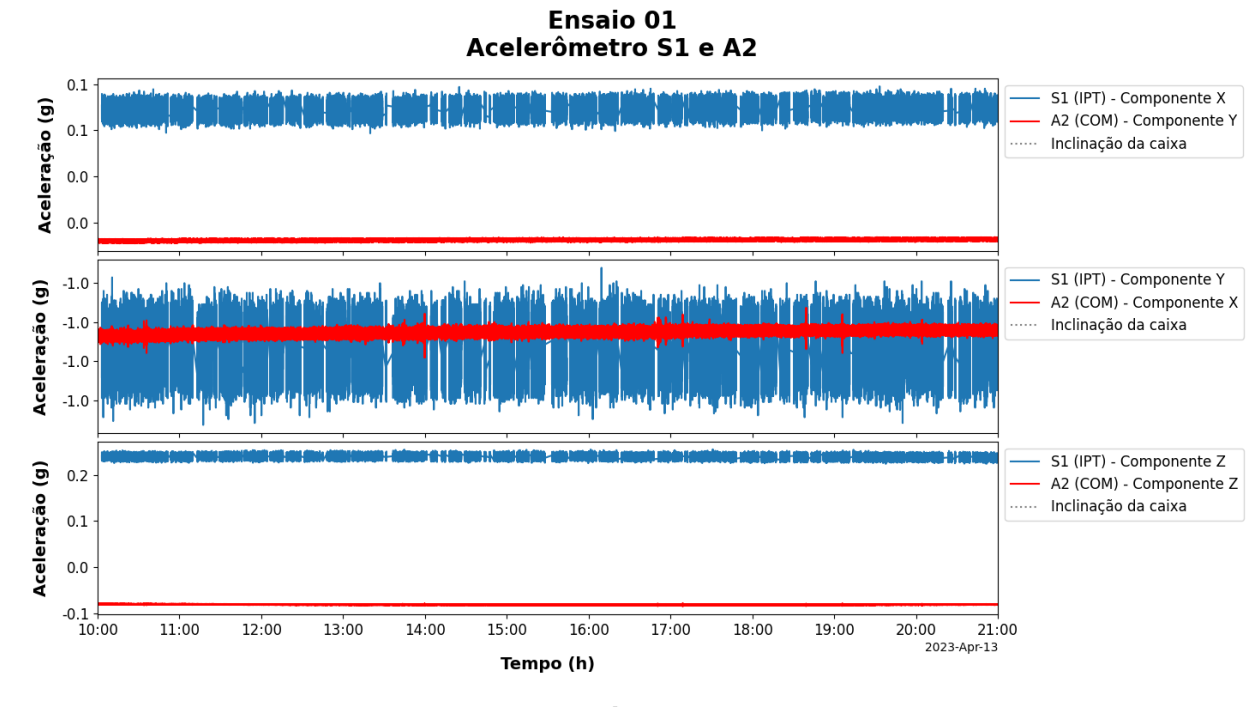


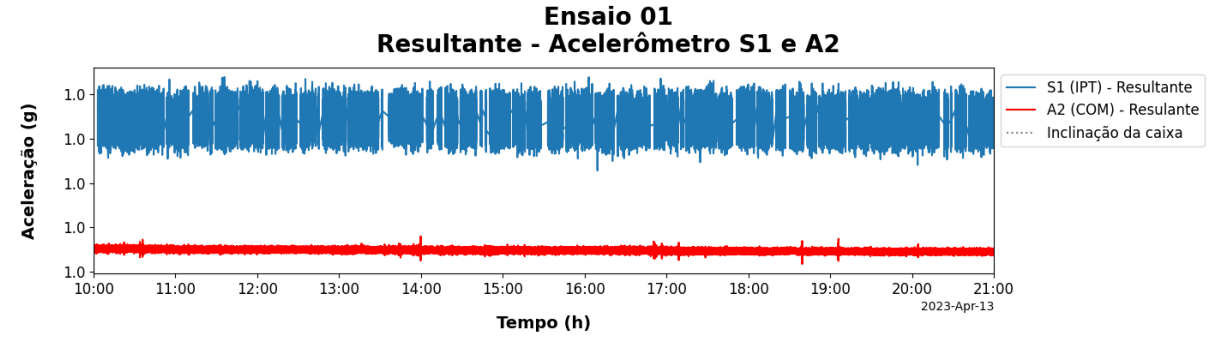






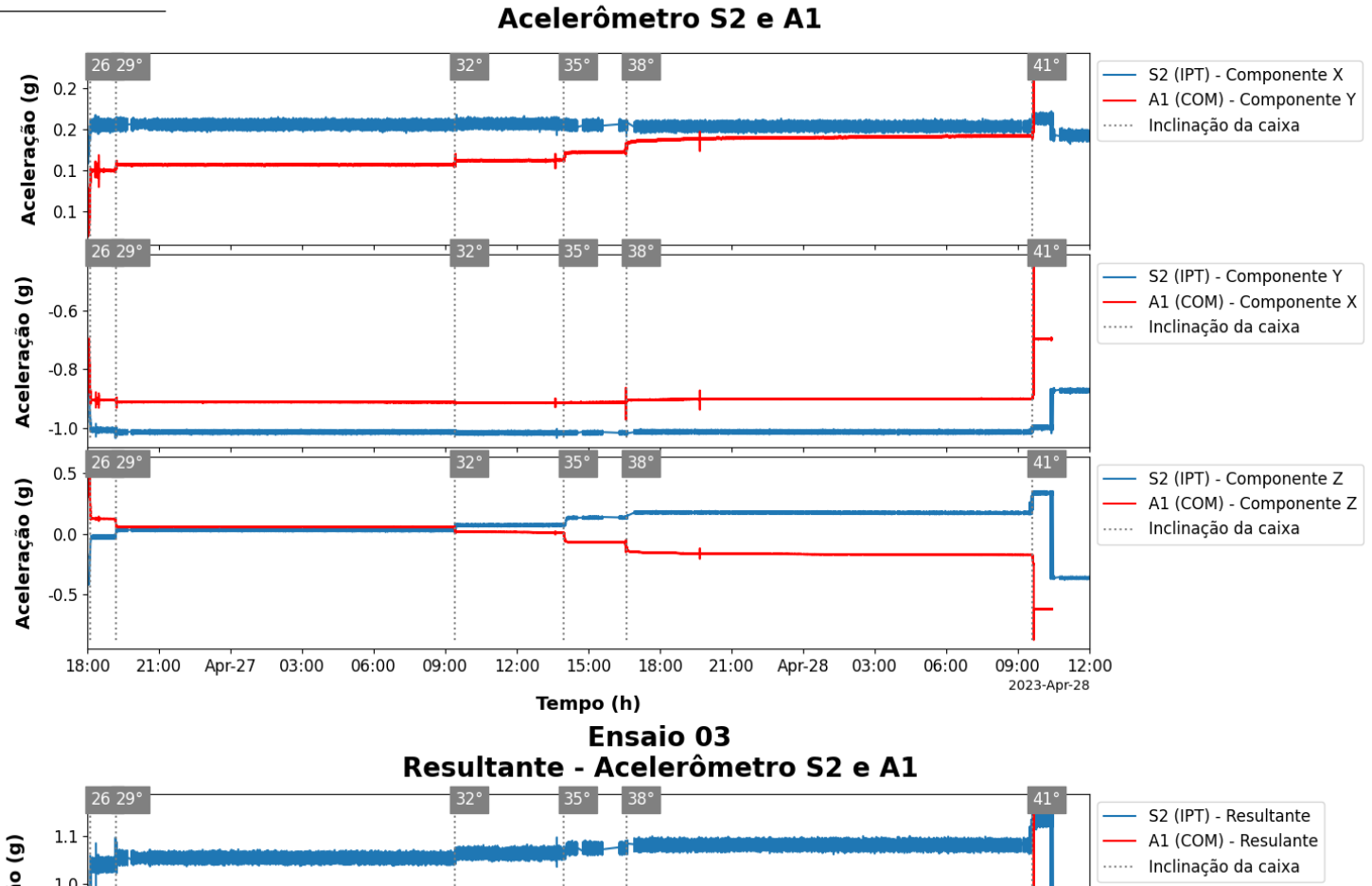












Ensaio 03

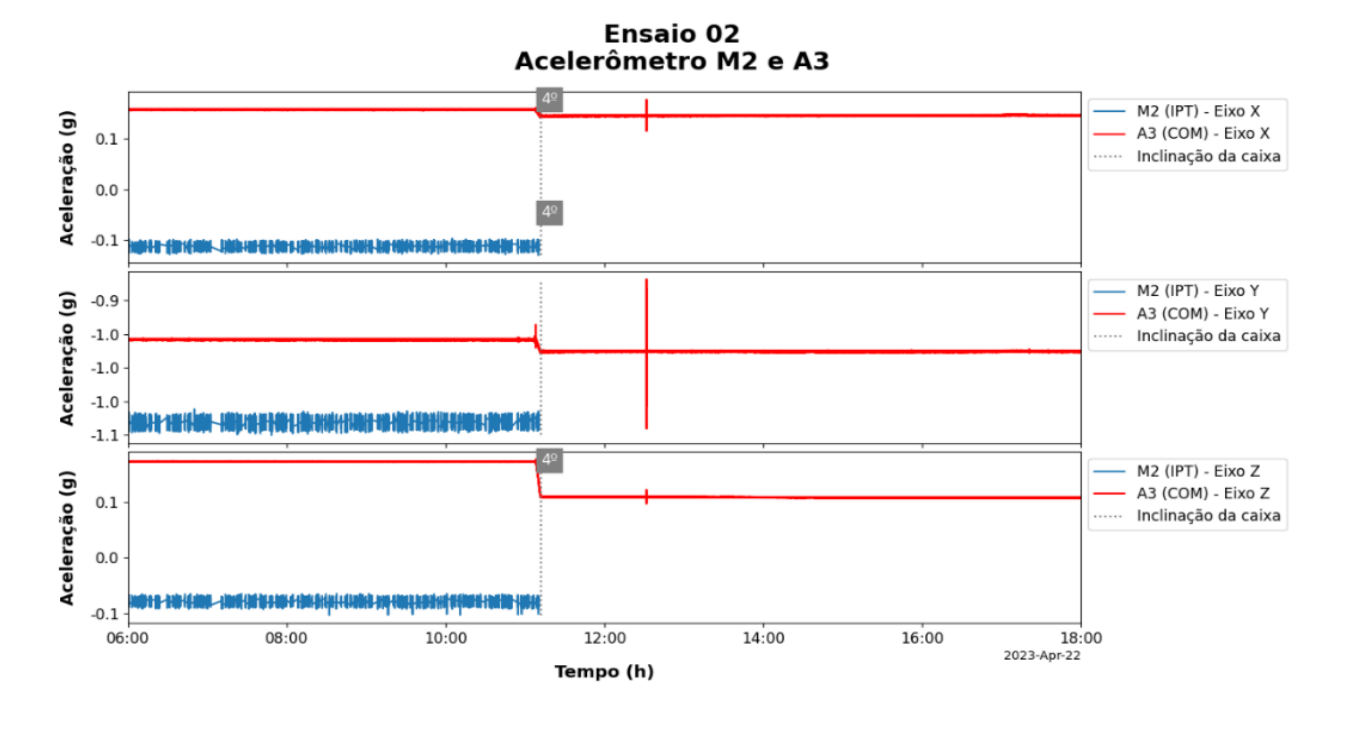


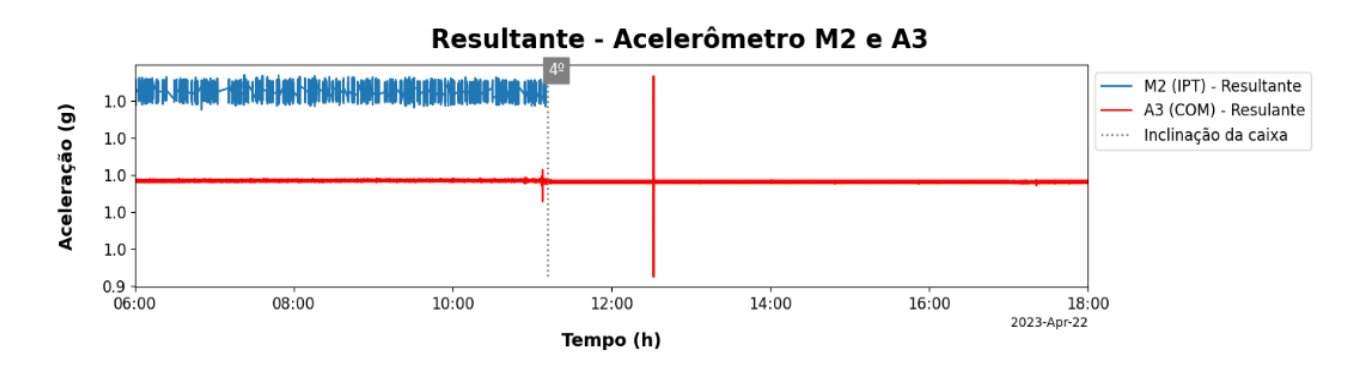






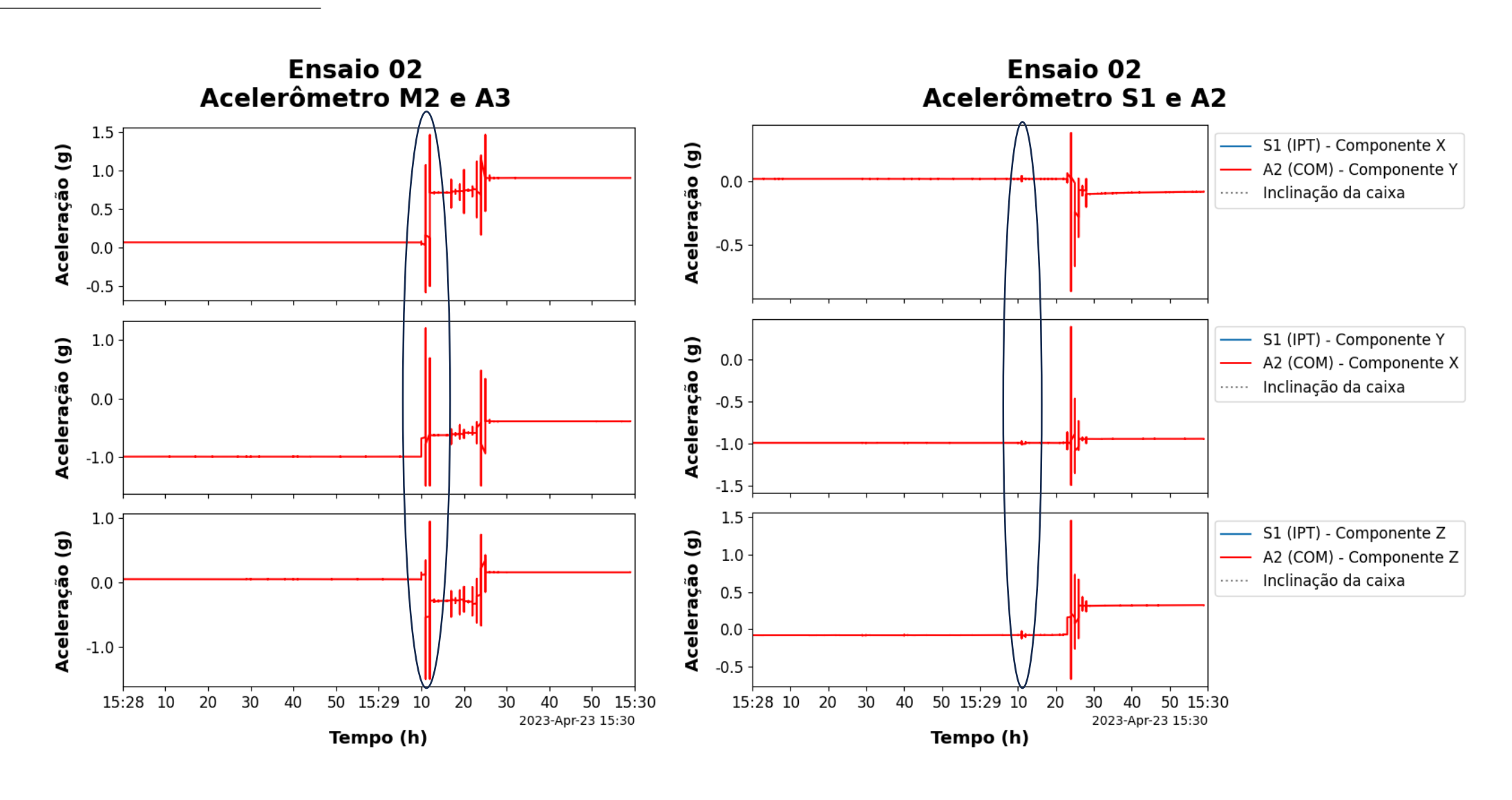




























# 4. Conclusões preliminares

- A metodologia adotada para a montagem das camadas reproduziu comportamentos esperados na natureza
- Os giroscópios não apresentaram resultados positivos para o monitoramento de movimentos em encostas na configuração em que foram propostos
- Os sinais digitais dos sensores de baixo custo apresentam a mesma tendência de comportamento que os sensores comerciais, mas apresentam uma maior densidade de ruído, o que dificultou a identificação de movimentos mais sutis que foram registrados pelos sensores comerciais
- O sinal digital dos sensores de baixo custo mostraram um bom registro das variações angulares aplicados na caixa
- Observou-se que os sensores mostram bons resultados quando os movimentos se desenvolvem ao longo do tempo e não mostrou bons resultados para rupturas bruscas, sem a formação de trincas ou movimentações preliminares.







